

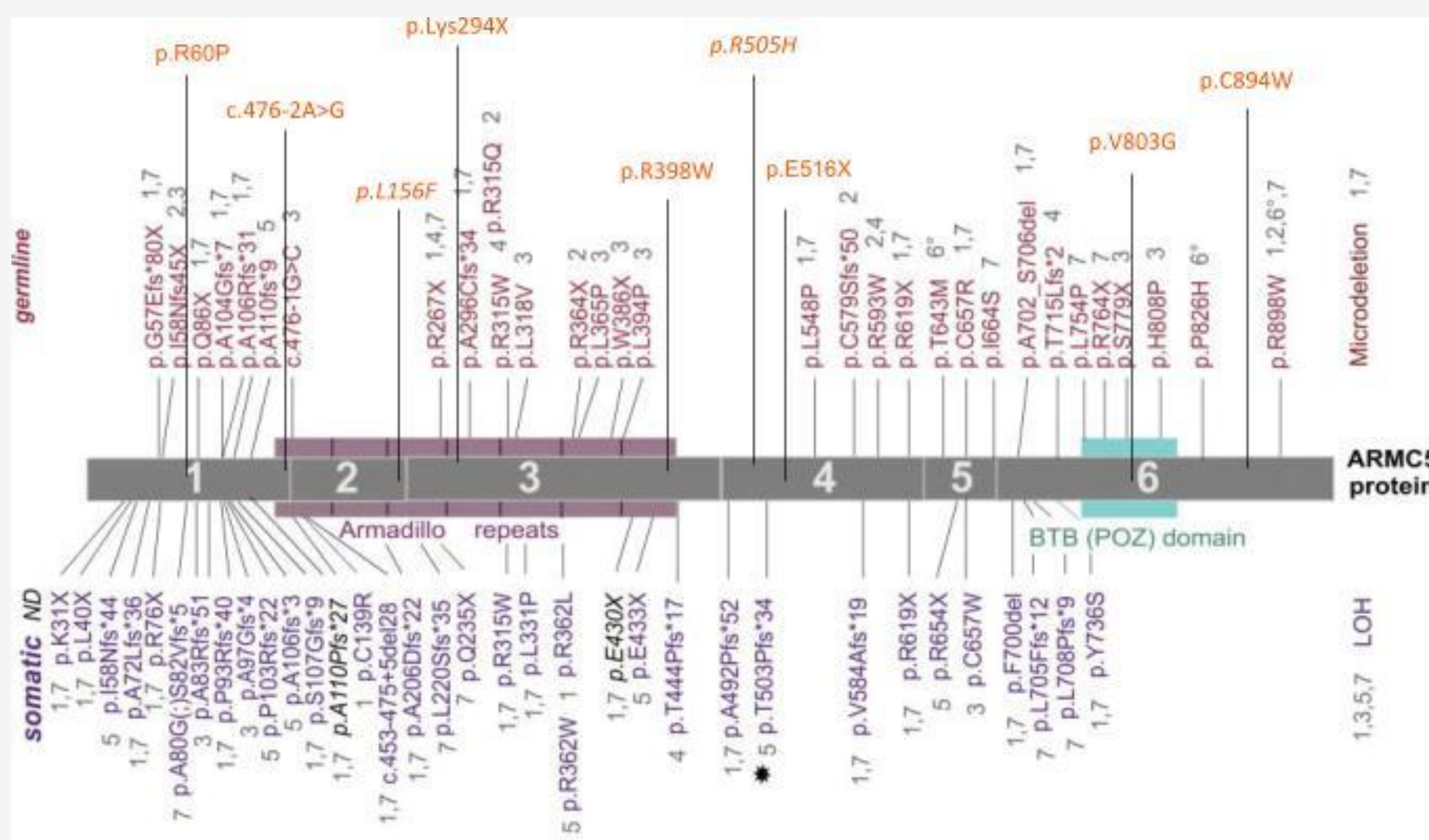
A. Vaczlavik*, L. Drougat* (Dr), S. Espiard*(Dr), K. Perlemino*, B. Ragazzon* (Dr), M. Rizk-Rabin* (Dr) et J. Bertherat* (Pr)
*Equipe Tumeurs endocrines et signalisation, Institut Cochin, INSERM U1016 & CNRS UMR8104, Paris, France

Contexte

L'hyperplasie macronodulaire bilatérale primitive des surrénales (HMBPS) est une cause d'hypercortisolisme caractérisée par le développement de nodules supra-centrimétriques de la cortico-surréale.

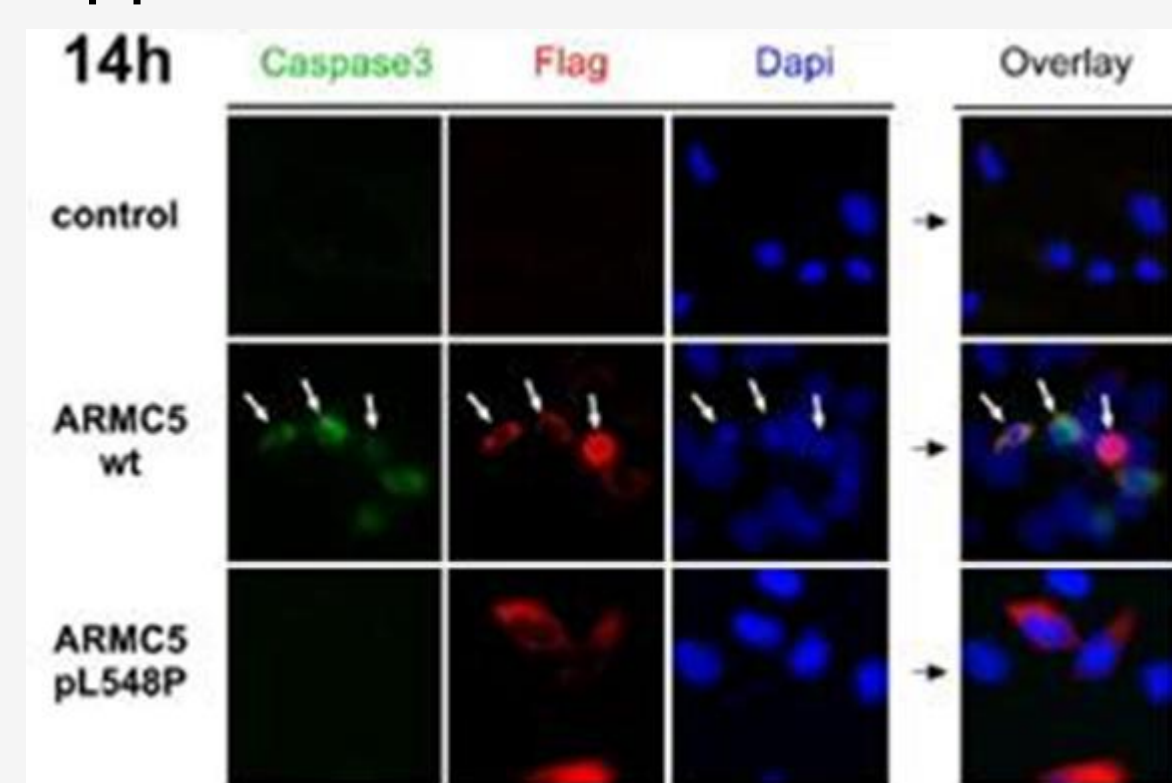
Les techniques actuelles d'analyse pan génomique ont permis l'identification de mutations inactivatrices d'ARMC5 dans cette pathologie⁽¹⁾. A ce jour, la prévalence des mutations chez les patients atteints d'HMPBS est de 25%⁽²⁾ et plus de 70 mutations inactivatrices ont été mises en évidence⁽¹⁻⁹⁾ (Fig.1); le tiers de ces événements sont des variants faux-sens dont le caractère pathogène doit être précisé à l'aide d'outils informatiques et étudié expérimentalement.

Fig.1: Altérations génétiques identifiées à ce jour dans ARMC5. D'après Drougat, EJE 2015⁽³⁾



Les altérations génétiques, en accord avec le modèle de Knudson, ainsi que les études menées *ex vivo* (Fig.2) suggèrent le rôle suppresseur de tumeur d'ARMC5.

Fig.2: Rôle pro-apoptotique d'ARMC5 dans la lignée cellulaire HeLa: expériences d'immunofluorescence. La colocalisation dans les cellules HeLa des fluorescences verte (caspase 3) et rouge (ARMC5-Flag) après 14h de surexpression d'ARMC5 sauvage suggère l'implication d'ARMC5 sauvage dans la mort cellulaire. Ce processus n'est pas observé après surexpression du variant pathogène p.L548P. D'après Assié, NEJM, 2013⁽¹⁾.



Objectif: Développer un protocole de cytométrie en flux étudiant ce phénomène d'apoptose sur cellules vivantes afin de caractériser les variants faux-sens d'ARMC5

Matériel et méthodes

1. Lignée cellulaire et protocole de transfection

La technique de cytométrie en flux vise à comparer l'apoptose dans 2 populations de cellules HEK293 surexprimant soit ARMC5 sauvage soit l'un de ses variants faux sens pathogène: p.L548P.

Le protocole de transfection transitoire utilise la Lipofectamine 2000® selon les instructions du fabricant. Les vecteurs d'expression sont étiquetés EGFP afin de repérer et d'étudier les cellules transfectées (Fig.3). 1µg d'ADN est utilisé pour chaque condition (250.000 cellules).

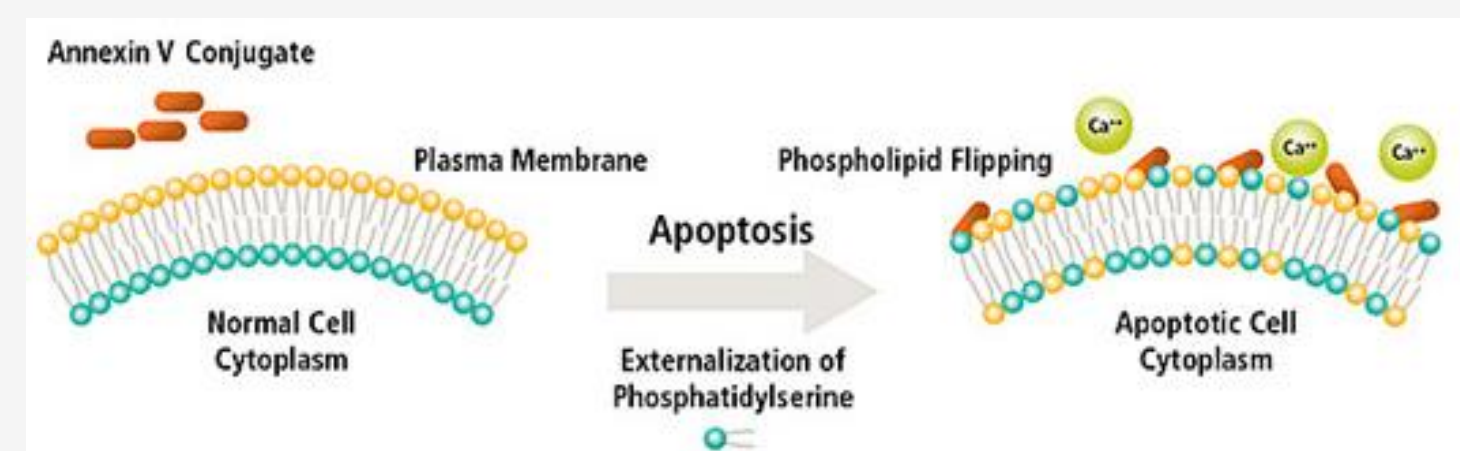
Fig.3: Vecteur d'expression pIRES-EGFP2 ARMC5



2. Etude de l'apoptose

L'AnnexineV conjuguée à un fluorochrome rouge Alexa_647nm (LifeTechnologies®) est utilisé pour distinguer les cellules apoptotiques (Fig.4). Chaque échantillon de 250.000 cellules est marqué avec 0,5µl d'AnnexineV dans 50µl du tampon calcium du fabricant.

Fig.4: Principe du marquage à l'AnnexineV. L'AnnexineV se lie aux résidus phosphatidylsérine exposés au feuillet externe de la membrane cellulaire lors de l'apoptose.



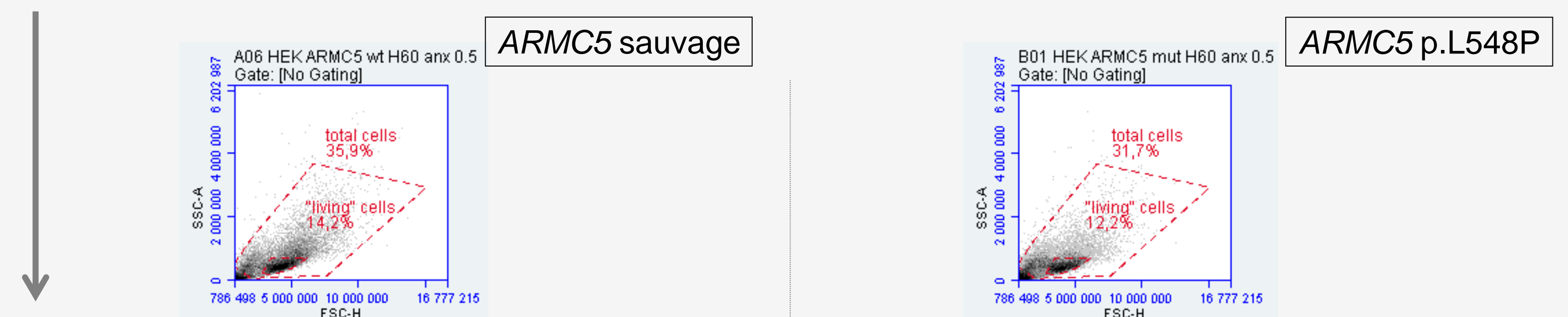
3. Acquisition des données de cytométrie en flux

Les échantillons sont lus sur un Accuri C6 (plateforme CYBIO, Institut Cochin).

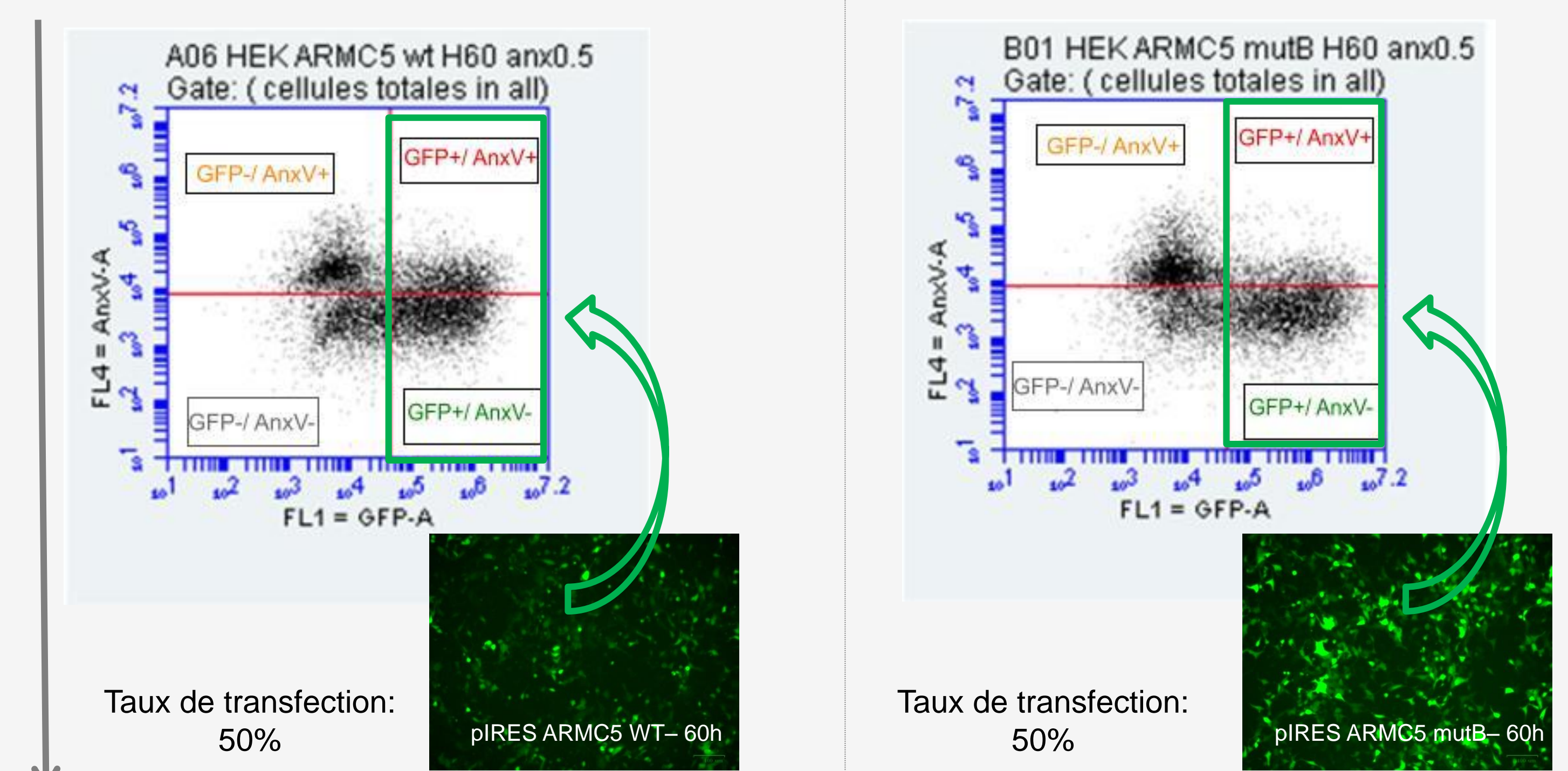
Resultats

L'apoptose dans les cellules surexprimant ARMC5 sauvage ne survient pas avant 48h de transfection. Une différence entre les taux d'apoptose dans les cellules surexprimant ARMC5 sauvage ou son variant pathogène p.L548P a pu être mise en évidence à 60h de la transfection.

1. Identification des cellules parmi les événements acquis en utilisant leur taille (FSC, en abscisse) et leur granularité (SSC, en ordonnée)



2. Distribution des cellules selon leur fluorescence GFP (axe des abscisses) et leur signal AnnexinV_647nm (axe des ordonnées)



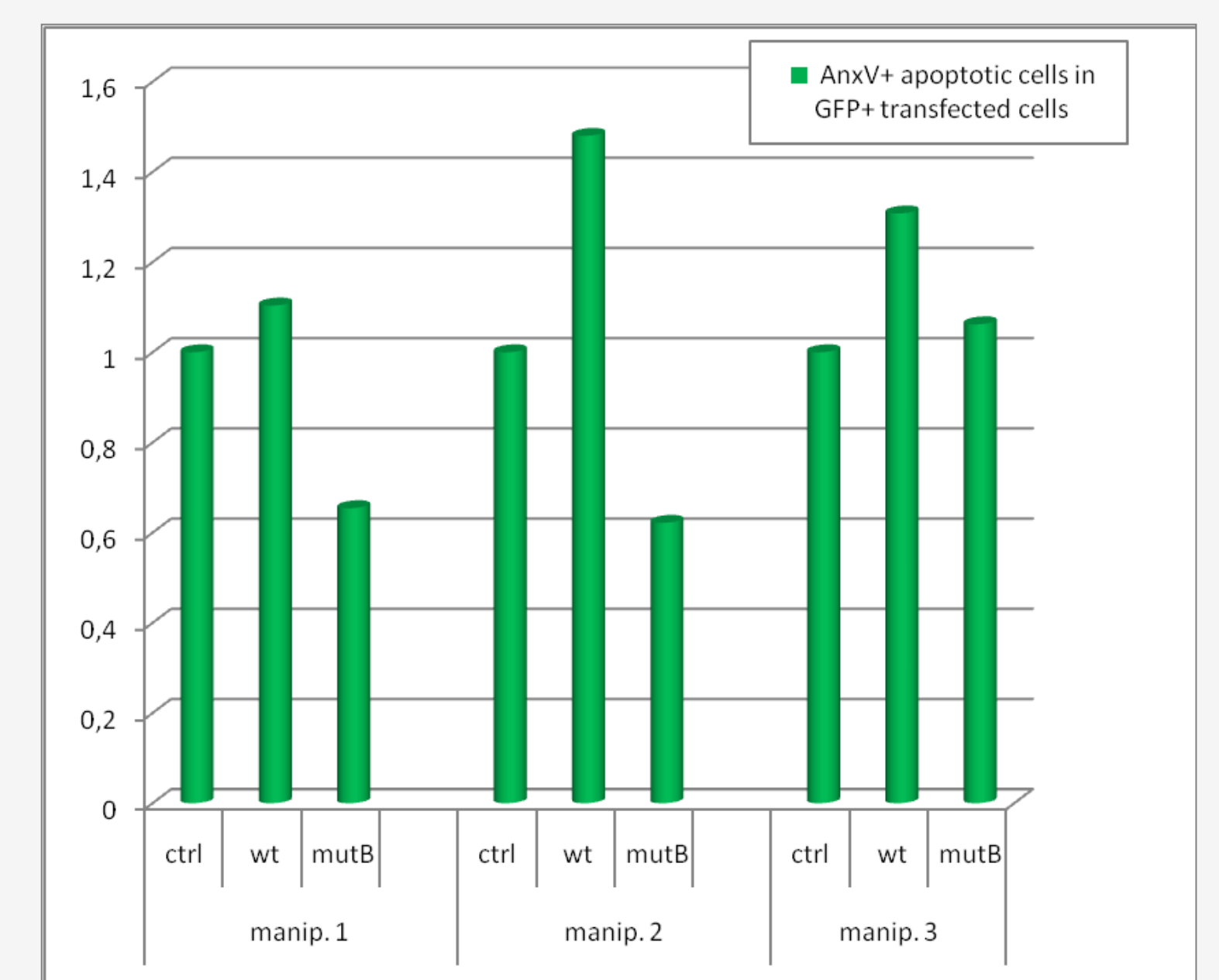
3. Calcul du taux d'apoptose dans les cellules surexprimant ARMC5 = cellules positives à l'AnnexineV parmi les cellules exprimant la GFP

Cellules AnnexinV+ parmi les cellules ARMC5 sauvage – GFP = **35%**

Cellules AnnexinV+ parmi les cellules ARMC5 p.L548P – GFP = **21%**

Le taux d'apoptose estimé par cette approche est à plusieurs reprises supérieur dans le groupe ARMC5 sauvage vs ARMC5 p.L548P à 60h de leurs surexpressions respectives dans les cellules HEK293 (Fig.5).

Fig.5: Pourcentage de cellules fixant l'AnnexineV parmi les cellules exprimant la GFP et donc soit ARMC5 sauvage soit son mutant p.L548P. Taux d'apoptose exprimés après standardisation avec 1 défini comme le taux d'apoptose dans des cellules exprimant un vecteur EGFP seul. Cette tendance se confirme au cours de 3 expériences indépendantes.



Conclusion

Après 60h de transfection dans les cellules HEK293, cette approche permet de mettre en évidence un défaut d'apoptose des cellules surexprimant le variant pathogène d'ARMC5 p.L548P par rapport à celles surexprimant ARMC5 sauvage. Cette technique doit être validée sur d'autres variants d'ARMC5 déjà caractérisés avant d'être appliquée à de nouveaux variants faux-sens.

References

- Assié, G. *et al.* ARMC5 mutations in macronodular adrenal hyperplasia with Cushing's syndrome. *N. Engl. J. Med.* **369**, 2105–2114 (2013).
- Espiard, S. *et al.* ARMC5 Mutations in a Large Cohort of Primary Macronodular Adrenal Hyperplasia: Clinical and Functional Consequences. *J. Clin. Endocrinol. Metab.* **100**, E926–935 (2015).
- Drougat, L., Espiard, S. & Bertherat, J. Genetics of primary bilateral macronodular adrenal hyperplasia: a model for early diagnosis of Cushing's syndrome? *Eur. J. Endocrinol.* **173**, M121–131 (2015).
- Alencar, G. A. *et al.* ARMC5 mutations are a frequent cause of primary macronodular adrenal Hyperplasia. *J. Clin. Endocrinol. Metab.* **99**, E1501–1509 (2014).
- Gagliardi, L. *et al.* ARMC5 mutations are common in familial bilateral macronodular adrenal hyperplasia. *J. Clin. Endocrinol. Metab.* **99**, E1784–1792 (2014).
- Faucz, F. R. *et al.* Macronodular adrenal hyperplasia due to mutations in an armadillo repeat containing 5 (ARMC5) gene: a clinical and genetic investigation. *J. Clin. Endocrinol. Metab.* **99**, E1113–1119 (2014).
- Elbelt, U. *et al.* Molecular and clinical evidence for an ARMC5 tumor syndrome: concurrent inactivating germline and somatic mutations are associated with both primary macronodular adrenal hyperplasia and meningioma. *J. Clin. Endocrinol. Metab.* **100**, E119–128 (2015).
- Zilbermint, M. *et al.* Primary Aldosteronism and ARMC5 Variants. *J. Clin. Endocrinol. Metab.* **100**, E900–909 (2015).
- Correa, R. *et al.* The ARMC5 gene shows extensive genetic variance in primary macronodular adrenocortical hyperplasia. *Eur. J. Endocrinol.* **173**, 435–440 (2015).